

湖北省地質学会  
1962年年会論文集

(内部資料)

五

地球物理勘探

湖北省地質学会

湖北省地質學會  
1962年年會論文集

- 一、構造、區域地層。
- 二、岩漿岩及內生金屬矿床。
- 三、煤田地質及沉积矿床。
- 四、水文地質工程地質。
- 五、地球物理勘探。

## 序 言

湖北省地质学会于1962年11月召开了第一届学术年会，历时5天，本专集汇编了提交年会的两篇有关地球物理勘探方面的论文。

在我省，地球物理勘探方法，近年来已广泛地运用在地质工作中的各个方面，积累了不少丰富的实际资料，因此，对我省实际工作中存在的地球物理方法问题的讨论，是有必要的。本专集中，周松青同志的论文对磁体的磁化、磁场变化及反问题进行了探讨，指出对磁场作定性解释时，应注意强磁体的消磁作用，对异常解释时，应首先了解工作区的磁化分区特征，同时强调考虑磁化特点时，应结合磁体走向、倾斜及与地磁场的关系，方能得出正确的磁化概念。孙经荣同志就水工物探工作中的电测深解释方法作了讨论。这些论文在实际工作中，都是有一定意义的。

这次年会的准备时间较为仓促，没有能够更广泛的组织各方面有关的论文，故本专集尚不能反映我省当前地球物理勘探研究的水平。但本专集的出版，对进一步加强这方面的学术交流，无疑地将会起到促进的作用。

编 者

## 目 录

### 序 言

论磁体的磁化、磁场空间规律及反问题解.....周松青 (1)

试论电法勘探中电测深的解释方法.....孙经荣 (23)

# 論磁体的磁化、磁场空间 規律及反問題解

周松青

(武汉地质学校)

本文试图在不考虑剩磁作用下，对倾斜薄层的磁化特点及磁场空间规律、反问题解释方面提出一些不成熟的意见，在文内涉及的主要问题有：

在消磁作用下薄层的磁化特点；

薄层体磁场空间分布的一般规律；

有关反问题解释的意见及实例说明。

在写作该文时，承蒙湖北省地质局物探工程师李润新同志作了多方面的指教，修正了内容及某些不当之处，特表谢意。此外，把本文作为引玉之砖，也希大家提出批评意见，不胜为感！

## 一、倾斜薄层体的磁化规律

### (一) 研究本题的一个函数式

由图1所示：设薄层走向与磁北夹角为 $A$ ，薄层倾角为 $\beta$ ，地磁场强度为 $T$ ，地磁倾角为 $i_1$ 。选定直角坐标： $x$  与薄层倾向方位一致， $y$  与薄层走向一致， $z$  与平面  $xoy$  正交。

知地磁场强度  $T$  的水平及垂直分量分别为：

$$H = T \cos i_1, \quad Z = T \sin i_1.$$

$H$  在  $x$ 、 $y$  上的分量分别为：

$$H_x = H \sin A, \quad H_y = H \cos A.$$

我们可以把  $H_x$  分成两个分量：一与薄层倾斜面重合的  $H_{x\theta}$ ，另一与倾斜面垂直的  $H_{x\perp}$ ，它们分别为：

$$H_{x\theta} = H \sin A \cos \beta, \quad H_{x\perp} = H \sin A \sin \beta.$$

同样也可把分量  $Z$  分成平行薄层倾斜面及垂直薄层倾斜面的分量  $Z_\theta$ 、 $Z_\perp$ ，它们分别为：

$$Z_\theta = Z \sin \beta, \quad Z_\perp = Z \cos \beta.$$

这样，平行及垂直薄层倾斜面的总分量强度应为：

平行薄层倾斜面  $H \sin A \cos \beta + Z \sin \beta$ ；

垂直薄层倾斜面  $H \sin A \sin \beta - Z \cos \beta$ 。

又知平行与垂直薄层倾斜面方向上的消磁系数分别为:

$$N_{\phi} = 0; \quad N_{\perp} = 4\pi.$$

故得与薄层倾斜面平行及垂直的磁化强度应为

$$I_{\phi} = k(H \sin A \cos \beta + Z \sin \beta); \quad I_{\perp} = \frac{k(H \sin A \sin \beta - Z \cos \beta)}{1 + 4\pi k}.$$

可见  $I_{\phi}$ 、 $I_{\perp}$  在平面  $xoz$  内的合成磁化强度为  $I_{xos}$ , 它与薄层倾斜面的夹角  $i$  必满足下式:

$$\nu = \cot i = \frac{I_{\phi}}{I_{\perp}} = (1 + 4\pi k) \frac{H \sin A \cos \beta + Z \sin \beta}{H \sin A \sin \beta - Z \cos \beta},$$

因

$$H \sin A = T_{xos} \cos \alpha_o; \quad Z = T_{xos} \sin \alpha_o,$$

将二者代入上式并稍加整理即得:

$$\nu = \cot i = (1 + 4\pi k) \cot(\beta - \alpha_o) = (1 + 4\pi k) \cot i_o. \quad (1-1)$$

式中  $\alpha_o$  为  $T$  在  $xoz$  内的投影  $T_{xos}$  的倾角;  $i_o = \beta - \alpha_o$  为  $T_{xos}$  与薄层倾斜面夹角, 见图 1。

由(1-1)式可见, 在消磁作用下, 恒有  $i \geq i_o$  成立。(只在  $k \ll 0.05CGSM$  及  $i_o = 0^\circ$  时二者才相等) 而且  $k$  越大, 这种情况越明显。为了讨论在任何纬度、任何走向时薄层体的磁化特点, 把

$$\alpha_o = \operatorname{tg}^{-1}(t g i_i \csc A)$$

代入(1-1)式即得

$$\nu = (1 + 4\pi k) \cot(\beta - t g^{-1}(t g i_i \csc A)). \quad (1-2)$$

这就是要讨论薄层体磁化一般规律的函数式, 它并具有下列一般属性:

1.  $\nu = I_{\phi}/I_{\perp}$  是一余切函数, 它与  $k$ 、 $i_i$ 、 $A$  及  $\beta$  构成复杂的关系。

2. 函数曲线的渐近线必满足下列方程

$$\beta = \operatorname{tg}^{-1}(t g i_i \csc A);$$

(适合于北半球)

而函数曲线的零点位置也必满足下列方程

$$\beta = 90^\circ + \operatorname{tg}^{-1}(t g i_i \csc A).$$

二者具有  $90^\circ$  的相位差。

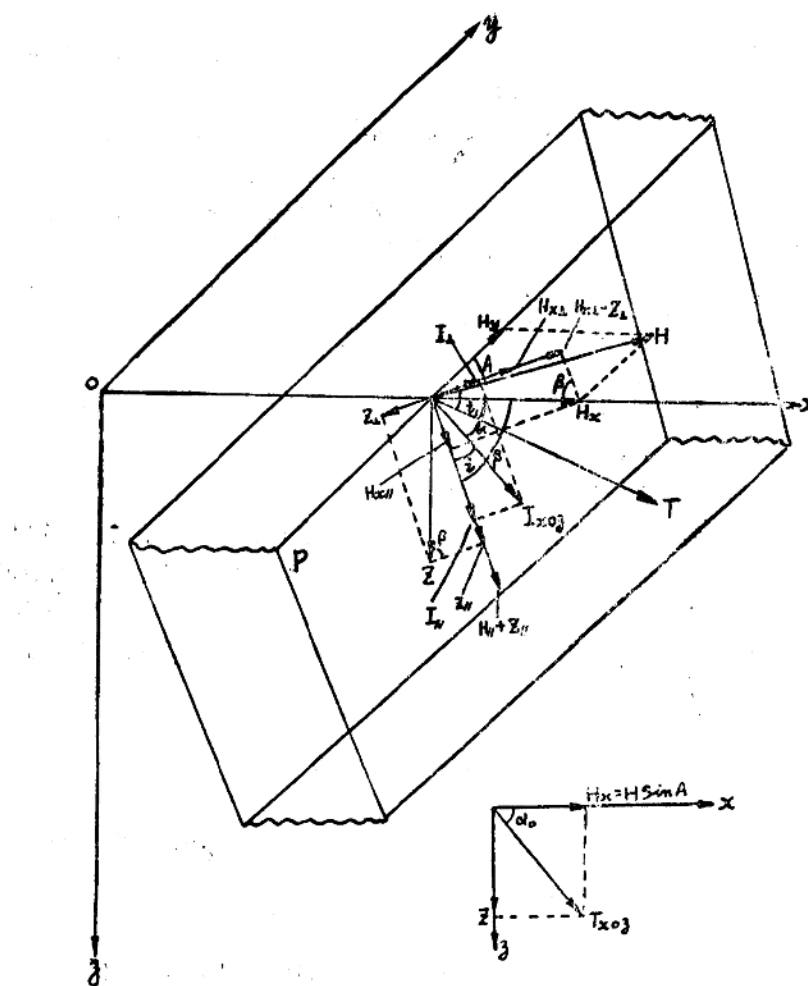
如果给定  $i_i$  及  $A$ , 就可以找到曲线的渐近线及零点位置, 于是即可作一条特定的函数曲线  $\nu = \varphi(\beta)$ 。

3. 由于  $i_i$  及  $A$  只决定  $\nu$  的渐近线及零点位置而不决定其形状, 故曲线只按照给定的  $i_i$ 、 $A$  而平移, 平移方程就是渐近线方程或零点方程。

4.  $(1 + 4\pi k)$  是  $\nu$  曲线的斜率, 它表示消磁作用对薄层体磁化的影响。

根据上述特点, 我们可以作给定  $i_i$ 、 $A$  时的函数曲线  $\nu = \varphi(\beta)$ , 用它们即可讨论薄层体的两个磁化强度  $I_{\phi}$  及  $I_{\perp}$  之间的相互关系, 也可以讨论在给定  $i_i$ 、 $A$  时薄层体的磁化特点与  $\beta$  的关系。

为了便于讨论起见, 可以作一族  $\nu$  曲线来进行。



$$H_x = H \sin A, \quad H_{x\beta} = H \sin A \cos \beta;$$

$$H_{x1} = H \sin A \sin \beta, \quad Z_\beta = Z \sin \beta;$$

$$Z_1 = Z \cos \beta, \quad H_y = H \cos A;$$

$$I_\beta = K(H_y + Z_\beta) \quad I_1 = \frac{K(H_{x\Delta} - Z_1)}{1 + 4\pi K}$$

图 1

把(1-2)式写成通式

$$y = (1 + 4\pi k)f(A, i_1, \beta),$$

而且设所论情况在北半球(即地磁倾角  $i_1 \geq 0$ )。取横轴为  $\beta$  的变化轴，并且规定  $\beta$  从  $0^\circ$ — $180^\circ$ ，当  $\beta < 90^\circ$  时，薄层倾向方位与磁化强度  $I_{xoz}$  方位一致； $\beta > 90^\circ$  时，薄层倾向方位与磁化强度  $I_{xoz}$  方位相反。

在  $\beta$  轴上以  $15^\circ$  为间隔(即  $\beta = 0^\circ, 15^\circ, 30^\circ, 45^\circ, 60^\circ, 75^\circ, 90^\circ$ )表示七条  $y$  曲线的渐近线位置，由于渐近线方程满足

$$\beta = \operatorname{tg}^{-1}(t g i_1 \csc A),$$

故给定  $\beta$  时,  $i_1, A$  有不同的组合形式, 可以计算得到与上述七条渐近线相对应的  $i_1, A$  的组合(即  $\nu$  与  $i_1, A$  的组合)函数示于表 1 中。

表 1. 中是不考虑  $k$  时的  $\nu$  与  $i_1, A$  的组合函数, 所取  $i_1$  的间隔为  $15^\circ$ , 同时表 1 中指出:

1. 各横列所有  $\nu$  的渐近线同一, 即可作一条  $\nu$  曲线; (注)
2. 各纵列所有  $\nu$  对应同一  $i_1$ , 而对应不同的  $A$ , 它们相互间有  $15^\circ$  相位差;
3. 各横列曲线可以第①横列为准, 顺次平移  $15^\circ$ 。

[注: 横列①说明当  $i_1 \rightarrow 0^\circ$  及  $A \rightarrow 0^\circ$  时,  $t g i_1 \csc A$  的极限型式为  $0 \times 0$  型, 故应用洛必文法则求极限, 其结果是在这个特定条件下,  $\nu$  的渐近线不是  $\beta = 0^\circ$ , 而是  $\beta \approx 45^\circ$ 。]

$$\text{因 } \lim_{\substack{i_1 \rightarrow 0 \\ A \rightarrow 0}} \frac{\operatorname{tg} i_1}{\sin A} = \lim_{\substack{i_1 \rightarrow 0 \\ A \rightarrow 0}} \frac{\operatorname{tg} i_1}{d \sin A} = \lim_{\substack{i_1 \rightarrow 0 \\ A \rightarrow 0}} \frac{\sec^2 i_1}{\cos A} \rightarrow 1,$$

故  $\operatorname{tg}^{-1}(t g i_1 \csc A) \rightarrow \operatorname{tg}^{-1} 1 \rightarrow 45^\circ$ 。

可知在讨论第①横列时, 这一特定情况是应该除外的。]

根据上述情况, 可以作成七条  $\nu$  曲线, 示于图 2 中。它们表示  $\nu$  在不同  $i_1, A$  时的分布特征。图中曲线编号与表 1—1 中横列编号一致, 箭号指向的直线为  $\nu$  曲线的渐近线。

由于  $(1 + 4\pi K)$  是  $\nu$  曲线的斜率, 故不需要另作曲线, 只要按比例选择纵坐标数值即可。如图中右面纵坐标比例数值表示  $(1 + 4\pi K) = 1$  的情况; 而左面纵坐标比例数值表示  $k = 0.3 \text{ CGSM}$  时(即  $1 + 4\pi K \approx 5$ )的情况。

## (二) 磁化规律 $\frac{I_\perp}{I_1}$ 的討論

已知  $\nu = \frac{I_\perp}{I_1}$  是  $i_1, A, \beta$  及  $k$  的函数, 故可以从图 1. 中得出薄层体磁化的一般规律, 可以分为四个特征区来讨论。

### (1) 正向平行磁化区

所指正向平行磁化区, 即与薄层倾斜面重合的磁化强度分量  $I_\perp$  指向下, 而且其作用远可掩盖与薄层倾斜面垂直的磁化强度分量  $I_\perp$  的作用区域。而这时的磁化就具有正向平行磁化的特点。

知正向平行磁化的条件, 从理论上讲应该是  $I_\perp = I_{xoz}$  ( $I_\perp = 0$ ), 薄层倾斜面与  $I_{xoz}$  重合。也就是说  $I_{xoz}$  与  $T_{xoz}$  一致, 因而就有  $i_1 = i_0 = 0^\circ$  ( $\alpha = \alpha_0$ )。各曲线在这点上必有  $\nu \rightarrow \infty$ 。

在这种情况下, 薄层顶面分布负磁荷(带  $S$  极性), 而底面分布正磁荷(带  $N$  极性), 侧面不分布磁荷, 因此地表的负磁通区(磁化磁场力线穿出地表区域)远离薄层顶面, 自然磁化磁场垂直分量  $z_a$  就没有负值, 曲线近乎轴对称。

在讨论这个问题时, 值得注意的一点是:  $\nu \rightarrow \infty$  只有数学意义, 在实际工作中, 由于正常场选择及观测精度所及, 往往在  $I_\perp$  未等于 0 时, 找到的  $z_a$  可能就具有轴对称的特点, 即  $I_\perp$  在侧面上产生的正磁荷作用可能不显现了。因此实际上薄层所具有的正向平行磁化条件, 将不是薄层倾斜面与  $I_{xoz}$  重合。 $(i_1 \neq i_0, i_0 \neq 0)$  如当  $\nu = 10$  倍时,  $I_\perp$  作用未被观测到, 那末  $z_a$  就具有  $\nu \rightarrow \infty$  的特性——轴对称, 这时假定  $K \ll 0.05 \text{ CGSM}$ , 由

表 1

横列号		渐近线	对 应 于 渐 近 线 的 方 程 组 $X = f(A, i_1, \beta)$		
①	$\beta = 0$	$f(A, 0^\circ, \beta)$			
②	$\beta = 15^\circ$	$f(90^\circ, 15^\circ, \beta)$			
③	$\beta = 30^\circ$	$f\left(\frac{28}{152}, 15^\circ, \beta\right)$	$f(90^\circ, 30^\circ, \beta)$		
④	$\beta = 45^\circ$	$f\left(\frac{16}{164}, 15^\circ, \beta\right)$	$f(90^\circ, 45^\circ, \beta)$		
⑤	$\beta = 60^\circ$	$f\left(\frac{10}{170}, 15^\circ, 6\right)$	$f\left(\frac{20}{160}, 30^\circ, \beta\right)$	$f\left(\frac{34}{146}, 45^\circ, \beta\right)$	$f(90^\circ, 60^\circ, \beta)$
⑥	$\beta = 75^\circ$	$f\left(\frac{4}{176}, 15^\circ, \beta\right)$	$f\left(\frac{10}{170}, 30^\circ, \beta\right)$	$f\left(\frac{16}{164}, 45^\circ, \beta\right)$	$f\left(\frac{28}{152}, 60^\circ, \beta\right)$
⑦	$\beta = 90^\circ$	$f\left(\frac{0}{180}, 15^\circ, \beta\right)$	$f\left(\frac{0}{180}, 30^\circ, \beta\right)$	$f\left(\frac{0}{180}, 45^\circ, \beta\right)$	$f\left(\frac{0}{180}, 60^\circ, \beta\right)$
纵列号		①	②	③	④
				⑤	⑥
					⑦
					⑧

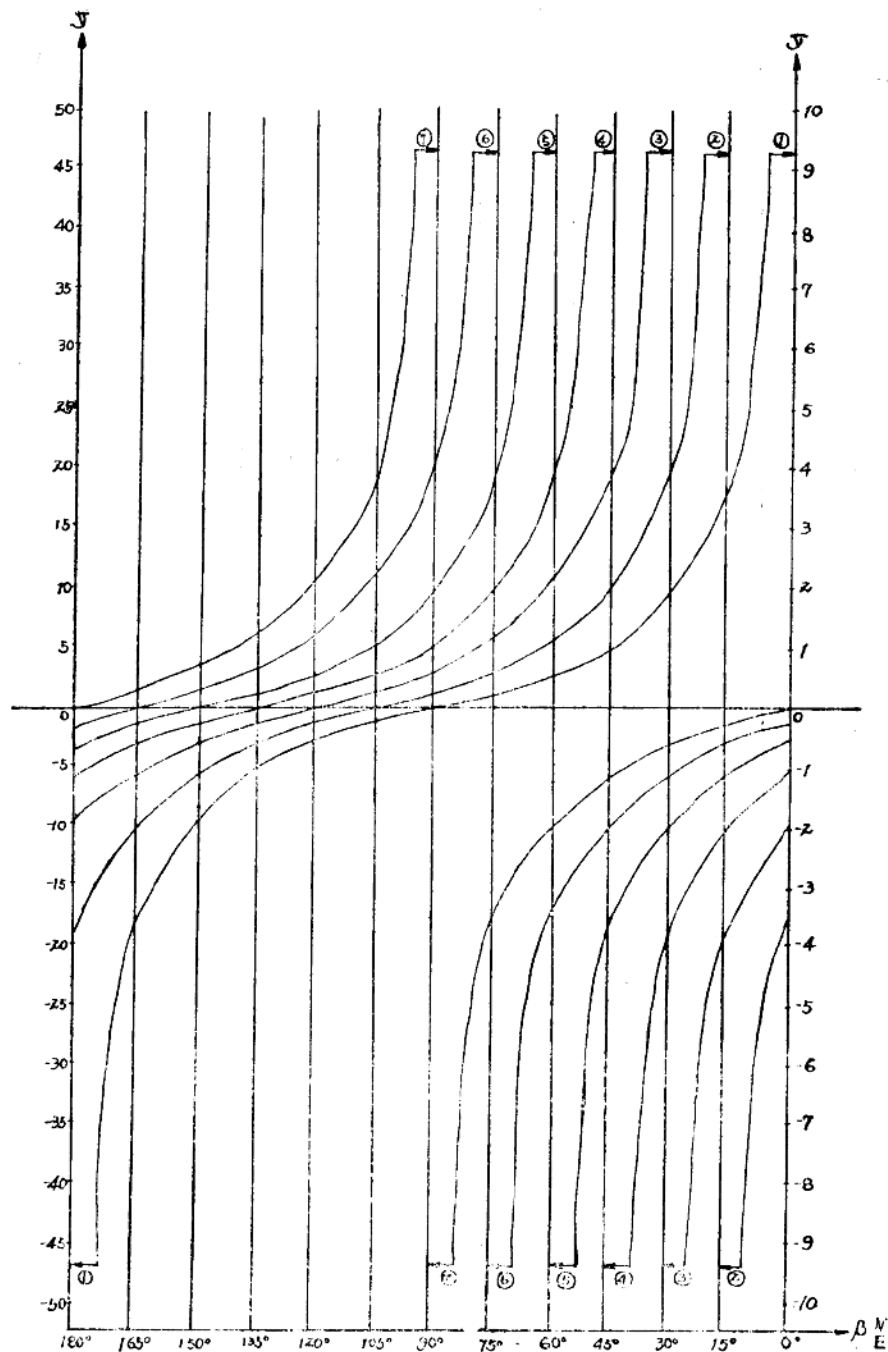


图 2

图(3)可见, 正向平行磁化可以在渐近线左右 $5^{\circ}$ 范围内完成。因此理论推断倾角, 与实际将有 $\pm 5^{\circ}$ 之差。

另外由于 $(1 + 4\pi K)$ 是 $\nu$ 曲线的斜率，在 $K$ 加大时曲线变陡，因此在同样条件 $\nu=10$ 时，实际观测所得 $Z_a$ 曲线满足正向平行磁化的范围，将比 $K \ll 0.05 CGSM$ 时为大。以图2所示取 $K=0.3 CGSM$ 为例，当 $\nu=10$ 时，实际观测所得正向平行磁化特点可以在渐近线附近 $\pm 30^\circ$ 内完成；而 $\nu=20$ ， $K=0.3 CGSM$ 时可以在 $\pm 12^\circ$ 内完成。

由此可得如下结论：

1. 在观测精度的限制及消磁作用下，观测到的具有正向平行磁化特点的磁场，并不一定满足理论上的正向平行磁化条件（即薄层倾斜面与 $I_{xoz}$ 重合），而实际上可以在薄层倾斜面偏离 $I_{xoz}$ 一个角度邻域内满足此条件。设此角度邻域为 $d\theta$ ，它与 $Y$ 、 $K$ 的选择间的关系如下表2：

表2

可见 $K$ 越大， $Y$ 越小， $d\theta$ 越大； $K$ 越小， $Y$ 越大， $d\theta$ 越小。

2. 在给定 $i_1$ 、 $A$ 后，如果 $Y$ 曲线的渐近线越接近 $\beta=90^\circ$ 的位置，则利用实测磁场曲线推断 $\beta$ 尤应注意 $d\theta$ 作用，因为正向平行磁化可能在薄层倾斜于两个相反方位完成。

如以图2之曲线⑥为例，渐近线为 $\beta=75^\circ$ ，当取 $Y=10$ ， $K=0.3 CGSM$ 时，薄层的正向平行磁化可以在 $d\theta=\pm 30^\circ$ 内完成，故薄层倾角可能不等于理论倾角( $\beta=75^\circ$ )，而为 $105^\circ$ 及 $45^\circ$ ，二者倾向相反。

## (2) 正交磁化区

所指正交磁化意思是： $I_\perp = 0$ ，即 $I_\perp = I_{xoz}$ ， $Y$ 曲线取 $o$ 。这时 $I_{xoz}$ 与薄层倾斜面正交，故其条件为 $i_1 = 90^\circ$  ( $\beta = 90^\circ + \alpha_o$ )。

从理论上讲具有正交磁化特点的薄层体，将在两侧面上带有极性相反的磁荷，即在 $I_{xoz}$ 穿出的侧面上带正磁荷，在 $I_{xoz}$ 进入的一个侧面上带负磁荷。顶面、底面将不带磁荷。如图4示，因此在顶面两侧必有正、负磁通达到相等，于是 $Z_a$ 将呈中心对称。

在实际工作中，也由于观测精度及正常场选择、 $K$ 的作用，这种磁化特点可以在一个 $\beta \approx 90^\circ + \alpha_o$ 的范围内成立。通常 $K$ 越小，这个邻域越大( $Y$ 曲线变缓之故)， $K$ 越大邻域越小( $Y$ 曲线变陡之故)。自然观测精度越大、及正常场选择越好，邻域也越小。

从曲线族上可见，该特征区随着 $Y$ 曲线渐近线向 $\beta=180^\circ$ 方向位移而越难显现。因为只有当薄层倾斜极缓时才具备条件 $\beta=90^\circ + \alpha_o$ 。

此外从曲线族上可见， $Y=o$ 之点一般在 $\beta > 90^\circ$ 点以外，只有曲线①才在 $\beta=90^\circ$ 时取到。

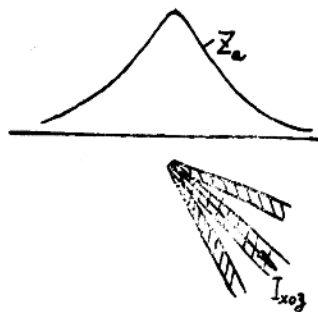


图 3

$K$	$< 0.05 CGSM$	$0.1 CGSM$	$0.2 CGSM$	$0.3 CGSM$
$Y$	$d\theta$	$CGSM$	$CGSM$	$CGSM$
10	$\pm 5^\circ$	$\pm 10^\circ$	$\pm 18^\circ$	$\pm 30^\circ$
20	$< \pm 5^\circ$	$< \pm 5^\circ$	$\pm 9^\circ$	$\pm 12^\circ$
30	$> \pm 5^\circ$	$< \pm 5^\circ$	$\pm 5^\circ$	$\pm 9^\circ$

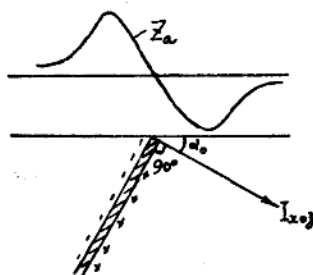


图 4

由上可得如下结论：

正交磁化虽然也可以在一个邻域内完成，但因这种特点反映的薄层倾角一般总比 $90^\circ$ 大（薄层与 $I_{xoz}$ 相反方位倾向），因此在考虑倾角时，邻域作用可以忽略，只需注意曲线①的情况就可以了，因为属于此情况的薄层，可能在不同倾向时完成正交磁化。

### (3) 反向平行磁化区

所指反向平行磁化是： $I_\parallel$  指向上，其作用有时可能会掩盖  $I_\perp$  作用。这种磁化条件必有  $i_o > 90^\circ$ ，即  $\beta > 90^\circ + \alpha_o$ ，同时  $Y < O$ ，图 5 示。

由于  $I_\parallel$  指向上，薄层顶面即可带有正磁荷，使地表负磁通量区加强，故  $Z_a$  曲线的极大值小于极小值的绝对值。

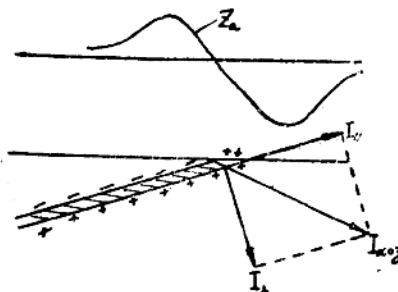


图 5

反向平行磁化也随着曲线  $Y$  的渐近线向  $180^\circ$  方向位移而难以显现。如图 2 中第⑦线左支， $Y$  最小是  $O$ ，不具有  $Y < O$  特点。

同时反向平行磁化的明显程度（如在同一精度下观测），则与  $K$  有关， $K$  越大特点越明显；反之则越不明显。如以图 2 中曲线②为例：如认为  $Y = -10$  时， $I_\perp$  作用可以在观测精度所及下而忽略，那末当  $K = 0.3 CGSM$  及薄层倾角为  $165^\circ$  时即可具备反向平行磁化特点，而且  $Z_a$  曲线可能不出现正值。如  $K < 0.05 CGSM$ ，则在  $\beta = 165^\circ$

时， $Y = -2$ ，即在上述观测精度下，薄层反向平行磁化特点不如  $K = 0.3 CGSM$  时明显。

由上可知：负磁异常也可能是由于反向平行磁化造成，而不一定是反磁性造成。具有这种磁化特点的薄层倾斜总与  $I_{xoz}$  方位相反，而且倾斜度比正交磁化时更缓。在这种情况下推断薄层倾斜，将是单一的。

### (4) 其他区

除上述三个特征区以外，即属此区。此区可以是正向平行磁化与正交磁化区之间的过渡区，故磁化具有二者之间状态特点；或者此区位于正向平行磁化区以右。不管如何，在该区内  $I_\parallel$  与  $I_\perp$  的作用不能忽略其中之一，一般  $Z_a$  曲线的正值比负值绝对值为大。

## 二、薄层体磁场空间规律

### (一) $Z_a$ 空间规律

知薄层体磁场垂直分量为

$$Z_a = \frac{4Ib \sin \beta}{x^2 + z^2} (-x \sin i_o + z \cos i_o), \quad (2-1)$$

其极大值与极小值之比为

$$X_1 = \frac{Z_{max}}{Z_{min}} = \frac{1 + \cos i_o}{1 - \cos i_o} = \cot^2 \frac{1}{2} (\beta - \operatorname{tg}^{-1} (t g i_1 \csc A)). \quad (2-2)$$

可见  $X_1$  与  $Y$  的渐近线方程一致，如：

$$\beta = \operatorname{tg}^{-1} (t g i_1 \csc A).$$

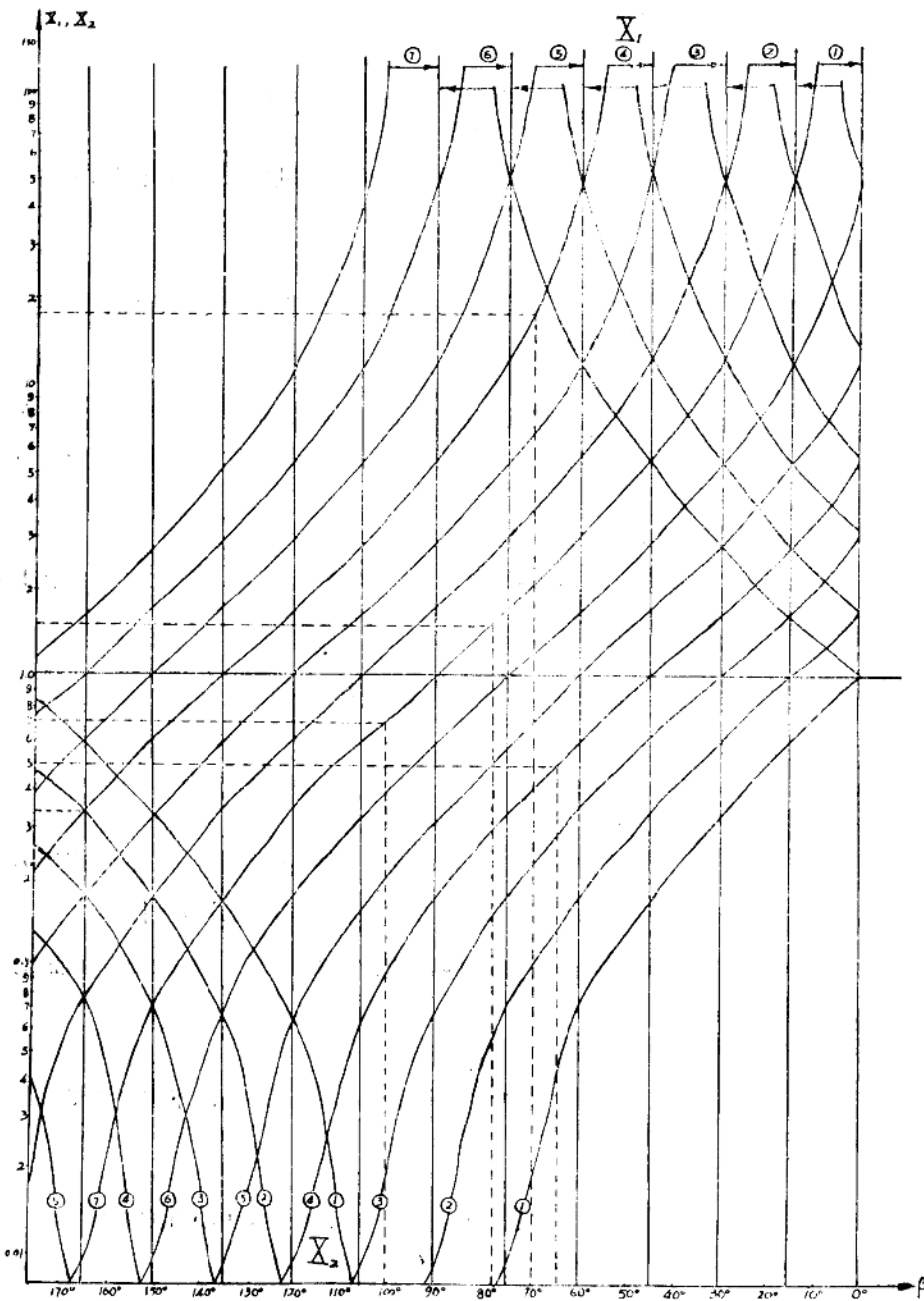


图 6

故对应于给定渐近线的函数组合形式，仍可用表 1—1 所列来说明。不过  $X_1$  曲线与  $Y$  曲线不相重合。所作七条曲线见图6. 曲线上方编号与表 1-1 中横列编号对应，箭号指向的纵线是  $X_1$  的渐近线。

$X_1$  曲线的分布特点与  $Y$  曲线分布特点一一对应如下：

(1) 正向平行磁化区内  $X_1$  特点

在这个区内的主要特点是  $X_1 \rightarrow \infty$ ,  $Z_a$  曲线趋于无负值轴对称。无疑在实际测量中，当  $X_1$  足够大时可能就观测不出  $Z_{min}$  的微小变化，因此结论也只能是，具有轴对称的  $Z_a$  曲线可以在薄层倾斜面偏离  $I_{xoz}$  一个邻域内测得。邻域的大小与观测精度及  $K$  有关。

(2) 正交磁化区  $X_1$  特点

在本区内主要特点是  $X_1 \rightarrow 1$ ,  $Z_a$  趋于中心对称，同样在实际工作中，也可能在  $X_1 = 1$  左右一个邻域内观测到这种特点。

(3) 反向平行磁化区  $X_1$  特点

该区主要特点是  $X_1 < 1$ ,  $Z_a$  呈现正峰值小于负峰值绝对值。这种特点难以在图 6 中的第⑦线上反映，即在任何纬度区的南北走向薄层及在高纬度区的任何走向的薄层，不易得到  $Z_{max} < |Z_{min}|$  的  $Z_a$  曲线。

(4) 其他磁化区内  $X_1$  特点

于各渐近线之右支曲线，有  $X_1 \geq 1$ ,  $Z_a$  负值出现方位与  $I_{xoz}$  方位相反。在上述正向平行磁化区及正交磁化区间， $X_1 > 1$ ,  $Z_a$  负值出现方位与  $I_{xoz}$  方位相同。

## (二) $H_a$ 空间分布规律

$H_a$  公式为

$$\begin{aligned} H_a &= \frac{4lb \sin\beta}{x^2 + z^2} [-x \cos i_o - z \sin i_o], \\ &= \frac{4lb \sin\beta}{x^2 + z^2} [-x \sin(90^\circ + i_o) + z \cos(90^\circ + i_o)], \end{aligned} \quad (2-3)$$

可见  $H_a$  与  $Z_a$  差  $-90^\circ$  相位，故同样可用极值之比来说明空间分布规律。

$$X_2 = \frac{H_{mix}}{|H_{min}|} = \cot^2 \frac{1}{2}(90^\circ + \beta - \operatorname{tg}^{-1}(tgi_1 \csc A)). \quad (2-4)$$

渐近线为

$$\beta = \operatorname{tg}^{-1}(tgi_1 \csc A) - 90^\circ,$$

与(2-2)式相交知  $X_2$  比  $X_1$  落后  $90^\circ$ 。故可作得曲线如图(6)所示：下半支上编号与表 1 中横列编号也对应。 $X_2$  在各磁化分区内的特点如下：

(1) 正向平行磁化区内  $X_2$  特点

在本区的主要特征是  $X_2 \rightarrow 1$ , 与  $X_1 \rightarrow \infty$  对应。 $H_a$  曲线成中心对称。在实际观测中同样可以在  $X_2 = 1$  左右一个邻域内得到这种  $H_a$  曲线。

(2) 正交磁化区内  $X_2$  特征

本区主要特点是  $X_2 \rightarrow 0$ ,  $H_a$  趋于负值轴对称，与中心对称  $Z_a$  曲线对应。此特点也可在一个邻域内表现出来。

(3) 反向平行磁化区  $X_2$  特点

当  $\beta > 90^\circ + \alpha_o$  后， $X_2$  又增大，且  $0 > X_2 \leq 1$ ，除曲线①外，其余各线  $X_2$  达不到一。本区内  $H_a$  负值与上述二区负值对调方位，即负值出现方位与  $I_{xoz}$  方位相反。

#### (4) 其他区内 $X_2$ 特点

上述三区以外者属本区，有  $X_2 \geq 1$ 。 $H_a$  特性主要与上述诸区有某些接近。

### (三) $Z_a/H_a$ 空间规律及反解

在直角坐标系内， $z$  给定时， $Z_a/H_a$  为一双曲线族，利用之可以进行反解推演。

#### (1) $f = Z_a/H_a$ 一般特性

$$\text{由式 } f = \frac{Z_a}{H_a} = \frac{-x \sin i_o + z \cos i_o}{-x \cos i_o - z \sin i_o}, \quad (2-5)$$

将式(2-5)变为

$$\begin{aligned} f &= \frac{\cos i_o (-x \sin i_o + z \cos i_o)}{\cos i_o (-x \cos i_o - z \sin i_o)} = \operatorname{tg} i_o + \frac{z / \cos^2 i_o}{-x - z \operatorname{tg} i_o} \\ &= \frac{a}{-x - b} + C, \end{aligned} \quad (2-6)$$

$$(2-6) \text{ 式为 } F = \frac{a}{-X}.$$

这就是共轭双曲线的一般形式，其特征如下。

#### 1. 漐近线方程

当  $i_o$  在闭域  $[0^\circ, 90^\circ]$  内， $b, c$  均大于零，故取

$$f = \frac{a}{-x - b} + C, \quad (2-7)$$

其水平及垂直漐近线分别为

$$f_1 = \operatorname{tg} i_o + C; \quad x_1 = -z \operatorname{tg} i_o = -b \quad (2-8)$$

双曲线原点为  $(-b, C)$ 。

当  $i_o$  在闭域  $[90^\circ, 180^\circ]$  内，有  $b, c$  均小于零，故取

$$f = \frac{a}{-x + b} + C, \quad (2-9)$$

其水平及垂直漐近线为

$$f_2 = -\operatorname{tg} i_o + C; \quad x_2 = z \operatorname{tg} i_o = b \quad (2-10)$$

双曲线原点为  $(b, -C)$ 。

共轭双曲线恒分布在第二、四象限内。

#### 2. $f$ 的顶点活动轨迹

经上述二个原点间作直线，其斜率为

$$\frac{f_2 - f_1}{x_2 - x_1} = -\frac{c}{b},$$

知过点  $(-b, C)$  的点斜式方程为

$$f - C = -\frac{c}{b}(x + b),$$

即

$$f = -\frac{x}{z}. \quad (2-11)$$

知双曲线原点活动轨迹为经  $x = 0$  点的跨二、四象限的直线。

#### 3. $f$ 与坐标轴交点方程

由式(2-7)及(2-9)知

$$\text{当 } x=0, \quad f_o = \mp \cot i_o; \quad (2-12)$$

$$\text{当 } f=0, \quad x_o = \pm z \cot i_o. \quad (2-13)$$

$i_o$  在闭域 $[0^\circ, 90^\circ]$ 内，取  $f_o$  为负， $x_o$  为正； $i_o$  于半闭域 $[90^\circ, 180^\circ]$ ，取  $f_o$  为正， $x_o$  为负。

#### 4. $f$ 的特殊方程

当  $i_o=0$  而趋向正向平行磁化时，方程(2-5)为

$$f = -\frac{z}{x}, \quad (2-14)$$

共轭双曲线以  $x$ 、 $f$  轴为渐近线。

当  $i_o=90^\circ$  而具正交磁化特点时，方程(2-5)为

$$f = \frac{x}{z}. \quad (2-15)$$

这是与(2-11)所示直线正交的直线方程。

#### (2) $f$ 曲线求作及解释

根据上述特性，可以求得在固定  $z$ ，而改变  $i_o$  时的渐近线，而后用式(2-6)求作  $f=\varphi(x)$  曲线，图 7 中所示，取  $f$  作纵标， $x/z$  作横标单位，曲线具有相同编号者共轭。

对曲线解释如下：

1. 当  $i_o: [0^\circ, 90^\circ]$  时，共轭双曲线之一分布在第四象限，另一分布在第二象限。前者被约束在正向平行磁化及正交磁化时的二条曲线内，后者分布在正向平行磁化时的曲线之外侧。当曲线渐近线趋向  $x$  及  $f$  轴，则薄层趋于正向平行磁化；当曲线张口越来越大，则薄层趋向正交磁化。

2. 当  $i_o: [90^\circ, 180^\circ]$ ，共轭双曲线之一于第二象限，且被约束在正交磁化及正向平行磁化时的曲线内，另一于正向平行磁化时的曲线以外——第四象限内。渐近线越趋向  $x$ ， $f$ ，则表示薄层越趋于反向平行磁化。

3. 当  $\beta < \alpha_o$ ，而  $i_o$  取负值时，双曲线与具有  $i_o$  的对应补角时的双曲线重合。如  $i_o = -75^\circ$  者与  $i_o = 105^\circ$  重合等等。故作倾角计算，须参考  $Z_o$  特点。

利用这些特征可以求解薄层倾角及埋深  $z$ 。

具体求解如下：

1.  $x=0$  点由共轭双曲线顶点与  $x$  轴交点求得。

2. 当  $x=0$  确定后， $x_o$ 、 $f_o$  均知，故埋深为

$$z = -\frac{x_o}{f_o},$$

3. 已知  $z$  后，则  $i_o$  可求，即

$$i_o = \cot^{-1} \frac{x_o}{z} = \cot^{-1} f_o.$$

$i_o$  的解应按下法选择。

$x_o > 0, i_o > 0$ ，必有薄层倾角  $\beta$  大于磁化倾角；

$x_o < 0$ ，有两个解：

$$-i_o \text{ 及 } 180^\circ - i_o.$$

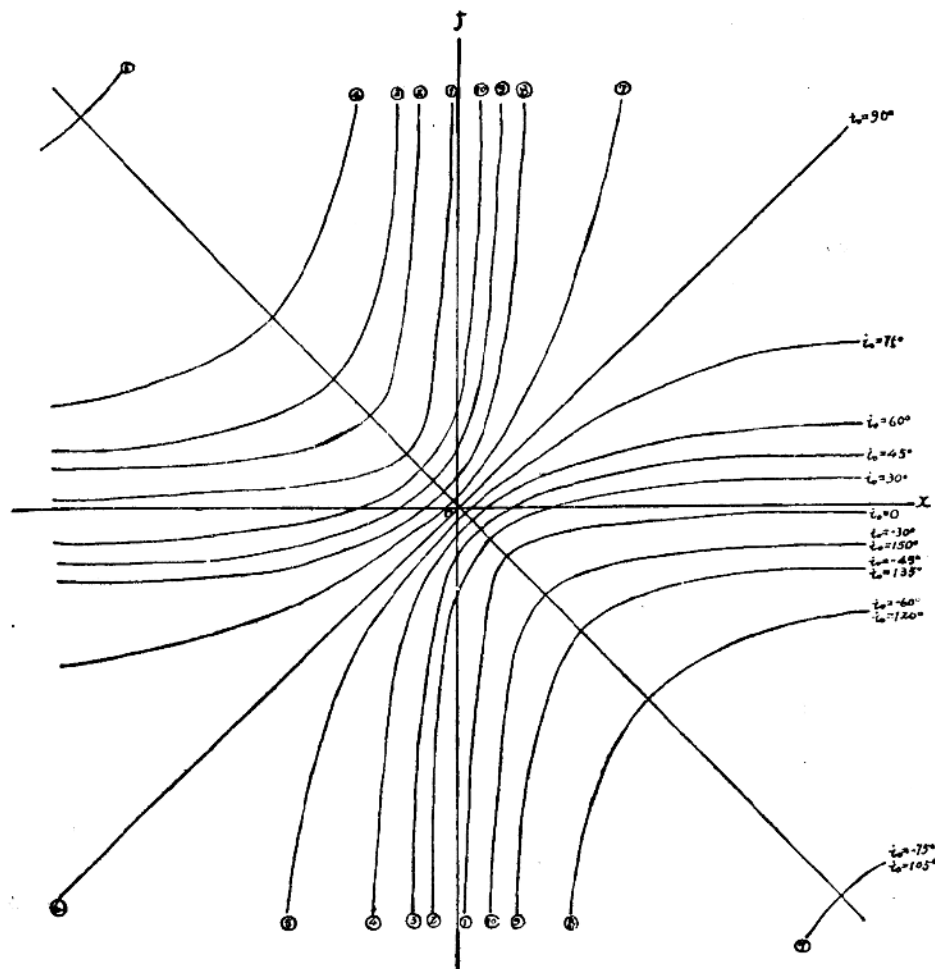


图 7

$Z_a$  负值出现方位与  $I_{xoz}$  方位相反, 取  $-i_o$ ;  $Z_a$  负值出现方位与  $I_{xoz}$  方位相同, 取  $180^\circ - i_o$ . ( $\beta > \alpha_o$ )

$$4. \quad \beta = \alpha_o + i_o = \operatorname{tg}^{-1}(t g i_o \csc A) + \operatorname{Cot} \frac{x_o}{z}$$

5. 双曲线以  $x$ 、 $f$  作渐近线时, 有  $i_o = 0^\circ$ , 于曲线上任取一点, 必可求得  

$$Z = xf_o$$

以直线形式表示的双曲线, 必有  $i_o = 90^\circ$ , 于其上任取一点必有

$$z = \frac{x}{f_o}$$

#### (四) $\Delta T$ 空间分布规律

薄层体总磁场强度增量为